

三元均相恒沸精馏多定态分析

赵 鹏 朱维军 柯清筑 王维德

(华侨大学材料科学与工程学院, 福建 泉州 362021)

摘要 研究三元均相恒沸精馏多定态现象, 进行含有多个精馏区域的三角形相图的多定态分析. 在全回流/ 具有无限多块塔板(/)的条件下, 分析各个精馏区域存在多定态现象的可能性, 得出存在多定态现象的两个条件和进料组成区域. 在一个具有 25 块理论塔板数的填料塔精馏装置中, 对丙酮-正庚烷-苯 001 类三元物系, 进行连续精馏多定态实验研究, 结果表现出一定程度的多定态现象.

关键词 均相, 恒沸精馏, 多定态, 三元物系

中图分类号 TQ 028.3⁺1

文献标识码 A

多定态(Multiple Steady States)的表述有多种形式, 本文是指对同一组输入数据存在多组输出结果的情况. 几十年来, 国外在常规精馏、反应精馏、恒沸精馏等方面, 对多定态都进行了诸多研究^[1~8], 国内在这方面的研究少有开展. 恒沸精馏作为一种重要的分离技术, 在化学工业中得到广泛应用, 恒沸精馏也可能存在多定态. Laroche 等首先开展了三元均相物系恒沸精馏研究; 在此基础上, Bekiaris 等^[4]分析了三元均相物系恒沸精馏存在多定态的可能性和条件. 文[5~7]对三元非均相物系恒沸精馏存在的多定态, 进行了研究和实验证实. 至今, 已发现精馏操作多定态有多种根源^[1~8]. 三元恒沸精馏多定态是因物系的热力学非理想性所造成^[4]. 本文开展均相物系恒沸精馏多定态研究.

1 存在多定态的精馏区域理论分析

Bekiaris 等^[4,6]提出了分析三元物系在三角形组成图中是否存在多定态区域的方法——即全回流和具有无限多块塔板(/ 法). 在 / 情况下, 精馏塔属于如下 3 种类型之一. (1) 组成分布从塔顶恒沸物开始, 沿着某一条精馏曲线变化, 在该精馏曲线的某一点结束. (2) 组成分布从三角形组成图内某一点开始, 沿着过此始点的精馏曲线在难挥发组分点结束. (3) 组成分布从三角形的边开始, 沿边角变化, 边角至少含有一个鞍形结. 在此情况下, 塔顶和塔底产品组成在三角形的边上变化. 图 1 为一个含有 2 个二元恒沸物, 2 个精馏区域的三元物系三角形组成图. 按照文[8]的分类方法, 该物系属于 021 类物系. 下面对图 1 所代表的物系的 $HMPN$ 精馏区域是否存在多定态进行理论分析. 给定一个进料组成和进料流量, 均用 F 表示. 为了简化分析, 假定进料 F 点是落在恒沸物 M 与恒沸物 N 连线上. 字母 $L(I, H)$ 既分别表示最低(中间, 最高)沸点纯组分, 又分别表示各自进料的流量. 进料、塔顶、塔底产品流量分别以字母 F, D, W 表示, R 代表回流比.

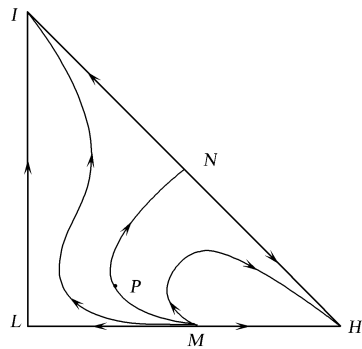


图 1 021 类物系精馏曲线

如果 $D=0$, 那么 $W=F$, 则塔底产品的组成 W 与进料的组成 F 相一致. 组成分布起始于恒沸物点 M , 沿着经过塔底组成点的精馏曲线变化, 终止于塔底组成点 W . 这种情况即为上面所描述的类型(1),

收稿日期 2005-11-06

作者简介 赵 鹏 (1975-), 男, 讲师, 主要从事传质与分离的研究; 通信作者: 王维德 (1958-), 教授, E-mail: wangwd@hqu.edu.cn.

基金项目 国务院侨务办公室科研基金资助项目 (01QZR06)

其塔组成分布如图 2(a) 所示. 用 x_{DL} 表示塔顶馏出物轻组分 L 的组成, 有 $x_{DL} = x_{ML}$, 即馏出物组成等于 M 点的恒沸物组成. 接下来, 塔顶流量从 0 开始增加, 据 $W = F - D$, W 开始减少, W 点沿着 MN 线向 N 点移动. W 点落在进料 F 点与恒沸物 N 点连线上的某一个点, 组成分布同样起始于恒沸物点 M , 沿着经过塔底组成点的精馏曲线变化, 终止于塔底组成点 W , 如图 2(b) 所示. 当 W 沿着 FN 线从 F 点移向 N 点时, WF 线逐渐变长, 根据杠杆规则, W 流量减少, D 增加. 图 2(c) 是塔底组成落在恒沸物 N 处, 塔顶组成落在恒沸物 M 处的情况. 此时, MFN 连结线上 FN 达到最长, W 流量达到最小, D 流量达到最大. 这种情况与前面描述的类型 (3) 一致. 在这种类型中, D 和 W 落在精馏边界上. 下面塔底组成点的变化存在两种路线. 当塔底组成沿着 NP 边界移动时, 根据物料平衡塔顶组成 D 是沿着恒沸物 M 到纯重组分 H 之间这条线移动的. 但这是不允许的, 因为这种情况下不存在连接 D 与 W 的精馏曲线. 另外一条路线是沿着 NH 边界移动, 在此情况下, D 将沿着恒沸物 M 到假鞍点 P 变化, 相应的 W 会落在

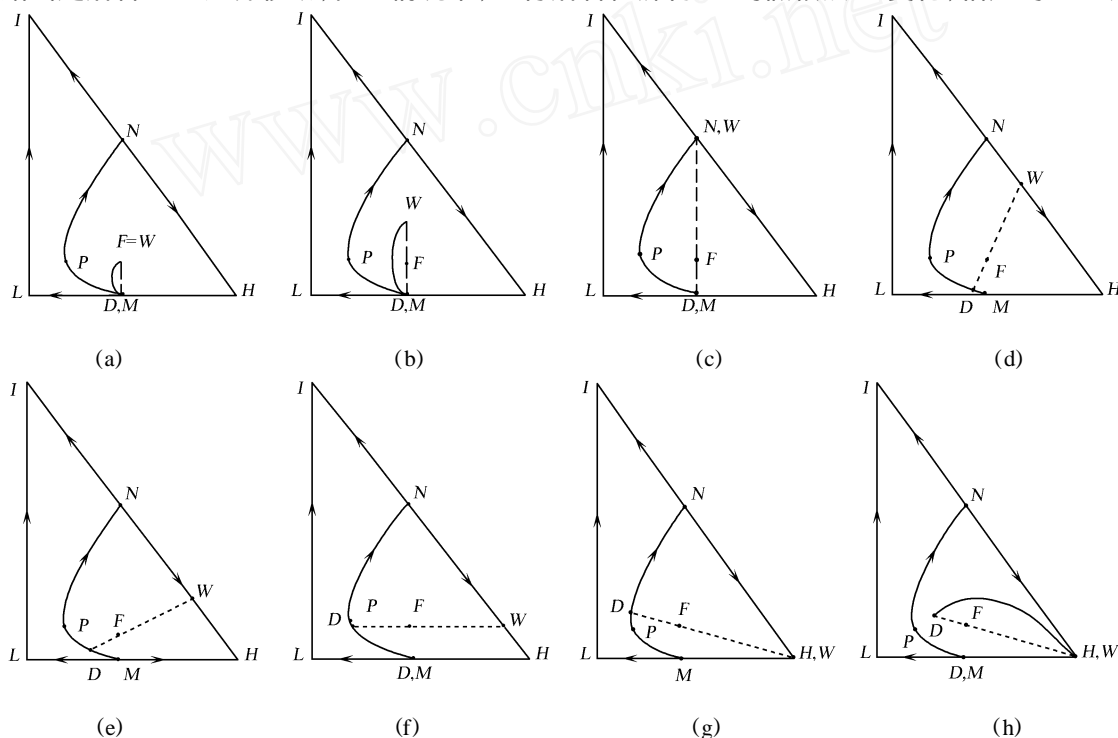


图 2 存在多定态的精馏区域理论分析

NH 边界上. 这种情况下存在连接 W 与 D 的精馏曲线. 由图 2(d) 可知, 在 D 向 P 移动过程中, 塔顶馏出物重组分 H , x_{DL} 增加, 在点 P 处轻组分 L 的含量增加至最大值. 图 2(e) 是 D 达到点 P 的情况. 过了 P 点后, D 沿着 PN 边界移动, 相应地 W 沿 NH 边界移向 H . 在此过程中, D 沿着靠近 NH 的方向移动, 其流量在增大, 而 x_{DL} 则在减小, 如图 2(f) 所示. 图 2(g) 是塔底组成 W 落在重组分 H 处的情况. 此时, D 继续增加, x_{DL} 继续减小. W 到达 H 处后, 将不会继续沿着 HN 边界移动, 因为其精馏曲线不存在. 最后, 还有一种属于类型 (2) 的组成分布情况, 这种类型的塔底组成为纯重组分. 因此, 物料平衡线落在进料 F 与重组分 H 的连线上. 塔顶组成 D 是在进料 F 到 MPN 边界之间这段线段上的某一点. 当 D 移向 F 时, D 的位置离开边界线向点 F 移动, DF 的长度变短, D 的流量在增加, W 的流量在减少. 此时, 塔内的组成分布为从 H 点开始, 沿着某一条精馏曲线结束于精馏区域内部的 D 点处, 如图 2(h) 所示. 当 D 移动到与 F 点重合时, $D = F$, 而 $W = 0$, 此为组成和流量变化的另一个极限. 将图 2 的各种状态绘制成图 3, 图中的 a, b, c, d, e, f, g, h 点分别对应于图 2(a), (b), (c), (d), (e), (f), (g) 和 (h) 的状态. 由图 3 可看出, 当 D 在 e 到 c 之间这段阴影区域内, 对应每个 D 值, 存在 3 个状态点. 点 为类型 (1) 的组成分布情况, 如图 2(b) 所示. 点 为类型 (3) 组成分布情况, 塔顶组成落在恒沸物 M 到假鞍点 P 之间的线段上, 如图 2(d) 所示. 点 有两种情况. (1) 如果塔底组成为纯重组分, 对应于类型 (2) 的组成分布情况, 如图 2(h) 所示. (2) 如果塔底组成不是纯重组分, 该点为类型 (3) 分布情况, 塔顶组成在 PN 边界上, 如图 2(f) 所示.

三元恒沸精馏多定态是因物系的热力学非理想性所造成的,理论分析表明并不是所有的三元物系都能产生多定态现象.多定态现象的产生必须满足如下2个条件.(1)塔顶 D 组成点沿精馏边界到达塔底 W 的过程中,至少要经过两个相邻的鞍点.(2)在精馏的某一个阶段,随着塔顶 D 组成点和塔底 W 组成点的移动, D 的轻组分含量增加,而 D 的流量减少.因为要满足塔顶 D 组成点沿精馏边界到达塔底 W 的过程中,至少要经过两个相邻的鞍点的条件.产生多定态现象的三元物系必然最少要有一个恒沸物,而恒沸物的产生是由于物系的热力学非理想性所造成.此外,即使是可能产生多定态现象的物系,也不是在所有的范围内都产生,而只是在一个局部范围内产生.

3 结束语

(1) 由于热力学的非理想性,某些三元均相物系的恒沸精馏存在多定态现象.通过理论分析,在 / 条件下,可以证明某些精馏区域存在多定态有两个条件.(2) 在 / 条件下,理论上可以证明,001类物系存在多定态.在一个具有25块理论塔板数的填料塔精馏装置中,进行丙酮-正庚烷-苯001类三元均相物系的连续精馏多定态实验研究.结果表明,该物系的确存在多定态现象.但是,由于本实验中填料层高度有限,所得多定态区域范围较小.

参 考 文 献

- 1 Petlyuk F B, Avetyan V S. Investigation of three component distillation at infinite reflux[J]. Theor Found Chem Eng, 1971, 5(4): 499 ~ 506
- 2 Magnussen T, Michelsen M L, Fredenslund A. Azeotropic distillation using UNIFAC[J]. Inst Chem Eng Symp Ser, 1979, 56: 1 ~ 19
- 3 Jacobsen E W, Skogestad S. Multiple steady states in ideal two-product distillation. [J]. AIChE, 1991, 37: 499 ~ 511
- 4 Bekiaris N, Meski G A, Radu C M, et al. Multiple steady states in homogeneous continuous distillation[J]. Ind Eng Chem Res, 1993, 32: 2 023 ~ 2 038
- 5 Guttinger T E, Dorn C, Morari M. Experimental study of multiple steady states in homogeneous azeotropic distillation[J]. Ind Eng Chem Res, 1997, 36: 794 ~ 802
- 6 Bekiaris N, Thomas E, Morari M. Multiple steady states in distillation: Effect of $VL(L)$ E inaccuracies[J]. AIChEJ, 2000, 46: 955 ~ 979
- 7 Muller D, Marquardt W. Experimental verification of multiple steady states in heterogeneous azeotropic distillation[J]. Ind Eng Chem Res, 1997, 36: 5 410 ~ 5 418
- 8 Matsuyama H, Nishimura H. Topological and thermodynamic classification of ternary vapor-liquid equilibria[J]. J Chem Eng Jpn, 1977, 10(3): 181 ~ 187

Multiple Steady States in Ternary Homogeneous Azeotropic Distillation

Zhao Peng Zhu Weijun Ke Qingzhu Wang Weide

(College of Material Science and Engineering, Huaqiao University, 362021, Quanzhou, China)

Abstract In this article, multiple steady states in ternary homogeneous azeotropic distillation have been studied. First, we develop theoretical analysis in some distillation region of the triangle diagram. In / case, the possibility of multiple steady states exist in each distillation region has been analyzed, the two condition and the feed composition region that leads to multiple steady states have been predicted. In the packed column with 25 plates, experimental investigation of distillation is carried out for ternary system of acetone-normal heptane-benzene which belongs to 001 type, the result shows that there existed multiple steady states in a certain extent.

Keywords homogeneous, azeotropic distillation, multiple steady states, ternary mixture